

СПЕКТРАЛЬНО-ЛЮМІНЕСЦЕНТНІ ХАРАКТЕРИСТИКИ РЬ-ВМІСНИХ АГРЕГАТІВ, ДИСПЕРГОВАНИХ У МАТРИЦІ CsBr

С. В. Мягкота¹, А. В. Глосковський², І. В. Стефанський², І. В. Гарапин², В. М. Габа³

¹ Львівська академія ветеринарної медицини ім. С. З. Гжицького,
бул. Пекарська, 50, Львів, 79010, Україна

² Львівський національний університет імені Івана Франка,
бул. Кирила і Мефодія, 8, Львів, 79005, Україна

³ Національний університет "Львівська Політехніка",
бул. С. Бандери, 12, Львів, 79013, Україна

(Отримано 23 червня 2001 р.; в остаточному вигляді — 18 лютого 2002 р.)

Досліджено спектрально-люмінесцентні характеристики РЬ-вмісних агрегатних фаз, що утворилися в результаті високотемпературного відпалу кристалів $CsBr:PbX_2$ ($X = F, Cl, Br, I$) ($C_{PbX_2} = 1$ мол. %), при фото- та рентгенівському збудженні. Зареєстровано утворення нанокристалів Cs_4PbBr_6 або $Cs_4PbBr_{6-x}F_x$, $Cs_4PbBr_{6-x}I_x$ і $CsPbBr_3$, диспергованих у матриці $CsBr$. При імпульсному рентгенівському збудженні випромінювальна релаксація високоенергетичних електрон-діркових пар кристала $CsBr$ — (1 мол. % $PbCl_2$ або $PbBr_2$) відбувається шляхом випромінювального розпаду автолокалізованих екситонів матриці $CsBr$, нанокристалів Cs_4PbBr_6 та локалізованих екситонів нанокристалів $CsPbBr_3$.

Ключові слова: нанокристал, люмінесцентно-кінетичні властивості, часи загасання люмінесценції.

PACS number(s): 78.55.Hx, 78.40.Ha, 71.35.Cc

I. ВСТУП

Нанокристали типу $CsPbX_3$ ($X = Cl, Br$), утворені в результаті довготривалого (10÷100 год) високотемпературного (110÷250 °C) відпалу кристалів $CsX:Pb$ ($X = Cl, Br$) ($C_{Pb} = 0.01\div 5$ мол. %), є зручним об'єктом для вивчення прояву квантоворозмірного ефекту в низькорозмірних системах [1–6].

У працях [3–6] показано, що структура спектрів люмінесценції нанокристалів $CsPbBr_3$, утворених у матриці $CsBr$, є дещо відмінною від структури спектрів, характерної для нанокристалів $CsPbCl_3$ в матриці $CsCl$. Структура спектра люмінесценції монокристала $CsPbBr_3$ також дещо відрізняється від структури спектра люмінесценції монокристала $CsPbCl_3$. Відмінність полягає в тому, що з низькоенергетичного боку від вузької смуги випромінювання вільного екситона в монокристалі $CsPbBr_3$ розміщена інтенсивніша смуга випромінювання локалізованого екситона. Енергетична відстань між цими двома смугами випромінювання складає ≈0.1÷0.2 eV. Подібна залежність реалізується і в нанокристалах типу $CsPbBr_3$. У моно- та нанокристалах $CsPbCl_3$ енергетична віддаль між смугами люмінесценції вільного й локалізованого екситона ≈0.01 eV [7–9].

Вузькосмугова екситонна люмінесценція нанокристалів $CsPbBr_3$, диспергованих у матриці $CsBr$, може зміщуватись у коротко- або довгохвильовий бік або не змінювати свого положення щодо смуги випромінювання вільного екситона монокристала $CsPbBr_3$ залежно від концентрації активатора та режиму високотемпературного відпалу [6]. Причина чутливості спектрально-люмінесцентних характеристик

нанокристалів зв'язана з утворенням нанокристалів $CsPbBr_3$ різного розміру та наявністю гідростатичного тиску, якого зазнають нанокристали $CsPbBr_3$ з боку матриці $CsBr$.

Враховуючи, що зменшення радіуса аніона домішки PbX_2 ($X = F, Cl, Br, I$) [10, 11] суттєво впливає на процес формування свинцевовмісних агрегатів, у цій роботі було досліджено спектрально-люмінесцентні характеристики РЬ-вмісних агрегатних фаз, що утворилися в результаті високотемпературного відпалу кристалів $CsBr:PbX_2$ ($X = F, Cl, Br, I$) ($C_{PbX_2} = 1$ мол. %) при їх фото- та рентгенівському збудженні.

II. ЕКСПЕРИМЕНТАЛЬНА ЧАСТИНА

Кристали $CsBr:PbX_2$ ($X = F, Cl, Br, I$) ($C_{PbX_2} = 1$ мол. %) вирощено методом Стокбаргера. Вихідну сировину $CsBr$ (марка "ОСЧ") і PbX_2 ($X = F, Cl, Br, I$) (марки "Ч") очищали методом зонної плавки. Свіжовирощені кристали піддавали високотемпературному (≈200°C) відпалу протягом 100 год з метою утворення свинцевовмісних нанокристалів, диспергованих у матриці $CsBr$. Для ідентифікації отриманих результатів досліджували також кристали $CsBr$, $CsPbBr_3$ і Cs_4PbBr_6 .

Стаціонарні спектри люмінесценції (СЛ), спектри збудження люмінесценції (СЗЛ), отримані при збудженні дейтерієвою та ксеноновою лампами, реєстрували на автоматизованій установці для спектрально-люмінесцентних вимірювань на базі монохроматорів МДР-2 і ДМР-4. Часи випромінювальної релаксації

τ та спектри люмінесценції з часовим розділюванням вимірювали при імпульсному рентгенівському збудженні ($U_a=35$ кВ, тривалість збуджуючого імпульсу $\Delta t=1.5$ нс, частота повторення збуджуючого імпульсу $f=100$ кГц). Часові константи кінетики загасання люмінесценції визначали з урахуванням тривалості збуджуючого імпульсу, що дозволяло визначати часи гасіння з $\tau \geq 0.5$ нс. Спектри люмінесценції при імпульсному рентгенівському збудженні вимірювали: а) із часовим вікном реєстрації $\Delta t=100$ нс (надалі — швидка компонента спектра рентгенолюмінесценції); б) з часовим вікном $\Delta t=10$ мкс і часовою затримкою $\delta t=150$ нс щодо початку збуджувального імпульсу (надалі — повільна компонента спектра рентгенолюмінесценції).

ІІІ. РЕЗУЛЬТАТИ ЕКСПЕРИМЕНТУ ТА ЇХ ОБГОВОРЕННЯ

Спектри фотолюмінесценції кристалів $\text{CsBr:Pb}X_2$ ($X=\text{F}, \text{Cl}, \text{Br}, \text{I}$) ($\text{C}_{\text{Pb}}X_2=1$ мол.%), збуджені в ділянці прозорости матриці CsBr ($E \leq 6.2$ еВ), зображені на рис. 1(а–г). Для ідентифікації смуг випромінювання свинцевомісних нанокристалів на рис. 1(д, е) наведено також СЛ і СЗЛ кристалів CsPbBr_3 та Cs_4PbBr_6 . Можна зауважити, що спектри люмінесценції кристалів $\text{CsBr:Pb}X_2$ ($X=\text{F}, \text{Cl}, \text{Br}, \text{I}$) ($\text{C}_{\text{Pb}}X_2=1$ мол.%) (рис. 1а–г) у спектральній ділянці $\lambda=505 \div 540$ нм являють собою вузькі смуги або вузькі пічки на фоні широких смуг, які за своїм спектральним положенням і півшириною ΔH близькі до параметрів смуги випромінювання вільного екситона монокристала CsPbBr_3 [7, 9, 12] (рис. 1д). Це дає певну підставу вважати, що в процесі тривалого високотемпературного відпалу в кристалах $\text{CsBr:Pb}X_2$ ($X=\text{F}, \text{Cl}, \text{Br}, \text{I}$) ($\text{C}_{\text{Pb}}X_2=1$ мол.%) утворюються нанокристали типу CsPbBr_3 . Наявність аніонів F^- , Cl^- , Br^- і I^- впливає на утворення нанокристалів CsPbBr_3 з різною ефективністю, як це видно з чіткості прояву смуги екситонної люмінесценції нанокристала CsPbBr_3 у випадку активатора $\text{Pb}X_2$ з різним аніоном.

СЗЛ нанокристалів CsPbBr_3 порівняно з СЗЛ монокристала CsPbBr_3 у спектральній ділянці $310 \div 330$ нм характеризуються провалом. Це пояснюється тим, що в цьому спектральному діапазоні ефективніше збуджуються нанокристали Cs_4PbBr_6 (див. рис. 1е). СЗЛ монокристала й нанокристала Cs_4PbBr_6 збігаються і мають характерну вузьку дублетну смугу в ділянці $300 \div 320$ нм.

Смуга випромінювання з $\lambda_{\max}=375$ нм (для кристалів $\text{CsBr:Pb}X_2$ ($X=\text{Cl}, \text{Br}$) ($\text{C}_{\text{Pb}}X_2=1$ мол.%) збігається зі спектральним положенням і півшириною смуги випромінювання автолокалізованого екситона (АЛЕ) кристала Cs_4PbBr_6 [4, 13]. Отже, тривалий високотемпературний відпал кристалів $\text{CsBr:Pb}X_2$ ($X=\text{Cl}, \text{Br}$) ($\text{C}_{\text{Pb}}X_2=1$ мол.%) приводить до утворення нанокристалів Cs_4PbBr_6 .

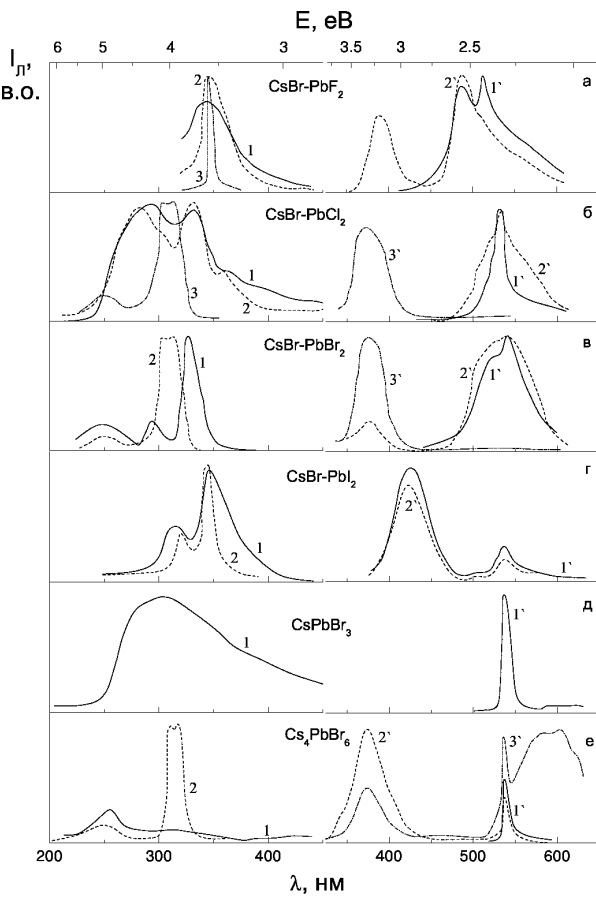


Рис. 1. Спектри збудження люмінесценції кристалів $\text{CsBr}-1$ мол.% $\text{Pb}X_2$ ($X=\text{F}, \text{Cl}, \text{Br}, \text{I}$), CsPbBr_3 , Cs_4PbBr_6 при $T=77$ К. $\text{CsBr}-1$ мол.% PbF_2 (а): $\lambda_{\text{випр}}=530$ нм (1); $\lambda_{\text{випр}}=505$ нм (2); $\lambda_{\text{випр}}=395$ нм (3); $\text{CsBr}-1$ мол.% PbCl_2 (б): $\lambda_{\text{випр}}=535$ нм (1); $\lambda_{\text{випр}}=520$ нм (2); $\lambda_{\text{випр}}=375$ нм (3); $\text{CsBr}-1$ мол.% PbBr_2 (в): $\lambda_{\text{випр}}=555$ нм (1); $\lambda_{\text{випр}}=375$ нм (2); $\text{CsBr}-1$ мол.% PbI_2 (г): $\lambda_{\text{випр}}=535$ нм (1); $\lambda_{\text{випр}}=425$ нм (2); CsPbBr_3 (д): $\lambda_{\text{випр}}=535$ нм; Cs_4PbBr_6 (е): $\lambda_{\text{випр}}=535$ нм (1); $\lambda_{\text{випр}}=375$ нм (2). Спектри люмінесценції кристалів $\text{CsBr}-1$ мол.% $\text{Pb}X_2$ ($X=\text{F}, \text{Cl}, \text{Br}, \text{I}$), CsPbBr_3 , Cs_4PbBr_6 при $T=77$ К. $\text{CsBr}-1$ мол.% PbF_2 (а): $\lambda_{\text{зб}}=340$ нм (1'); $\lambda_{\text{зб}}=330$ нм (2'); $\text{CsBr}-1$ мол.% PbCl_2 (б): $\lambda_{\text{зб}}=350$ нм (1'); $\lambda_{\text{зб}}=338$ нм (2'); $\lambda_{\text{зб}}=308$ нм (3'); $\text{CsBr}-1$ мол.% PbBr_2 (в): $\lambda_{\text{зб}}=338$ нм (1'); $\lambda_{\text{зб}}=326$ нм (2'); $\lambda_{\text{зб}}=310$ нм (3'); $\text{CsBr}-1$ мол.% PbI_2 (г): $\lambda_{\text{зб}}=338$ нм (1'); $\lambda_{\text{зб}}=320$ нм (2'); CsPbBr_3 (д): $\lambda_{\text{зб}}=300$ нм (1'); Cs_4PbBr_6 (е): $\lambda_{\text{зб}}=420$ нм (1'); $\lambda_{\text{зб}}=310$ нм (2'); $\lambda_{\text{зб}}=263$ нм (3').

При активуванні матриці CsBr 1 мол.% PbF_2 або PbI_2 в нанокристалах типу Cs_4PbBr_6 суттєво змінюються спектральне положення їхньої смуги люмінесценції, зсуваючись у довгохвильову ділянку. Ці обставини вказують на можливість утворення нанокристалів складнішого типу: $\text{Cs}_4\text{PbBr}_{6-x}\text{F}_x$, $\text{Cs}_4\text{PbBr}_{6-x}\text{I}_x$, Cs_4PbF_6 , Cs_4PbI_6 . Зокрема, утворення сполуки Cs_4PbI_6 і її люмінесцентні параметри дослідженні в [4, 14]. Найхарактерніша дублетна смуга в СЗЛ цих нанокристалів також зсувається в довгохвильову ділянку щодо аналогічної структури моно-

нанокристалів Cs_4PbBr_6 (див. рис. 1а, б, г).

Таким чином, у кристалах $CsBr$ з 1 мол.% PbX_2 ($X = F, Cl, Br, I$), відпалених при однаковому температурному режимі, можливе утворення нанокристалів типу $CsPbBr_3$ і Cs_4PbBr_6 , $Cs_4PbBr_{6-x}F_x$, $Cs_4PbBr_{6-x}I_x$ або Cs_4PbF_6 , Cs_4PbI_6 відбувається з різною ефективністю. Вузькосмугова люмінесценція нанокристалів типу $CsPbBr_3$ при цьому зміщується в короткохвильовий бік на величину $\Delta E \approx 140$ мeВ, 100 мeВ, 75 мeВ і 0 мeВ (кристал $CsBr$ — 1 мол.% PbF_2 , $CsBr$ — 1 мол.% $PbCl_2$ і $CsBr$ — 1 мол.% $PbBr_2$, $CsBr$ — 1 мол.% PbI_2 відповідно) стосовно спектрального положення смуги випромінювання вільного екситона монокристала $CsPbBr_3$. Для кристала $CsBr$ — 1 мол.% $PbBr_2$ або PbI_2 підвирина смуги випромінювання нанокристалів типу $CsPbBr_3$ суттєво зростає в порівнянні з величиною $\Delta H = 0.025$ eВ, характерною для смуги випромінювання вільного екситона монокристала $CsPbBr_3$ [7, 9].

Процес утворення Pb-вмісних агрегатів у кристалі $CsBr^-Pb$ підтверджується також при дослідженні температурної залежності електропровідності. При температурі $\geq 180^\circ\text{C}$ спостерігається злам у лінійній залежності $\sigma = \sigma(T)$ (на відміну від неактивованих кристалів $CsBr$), що пов'язується з процесом агрегації йонів Pb^{2+} [15]. Агрегація утворення підтверджується також при дослідженні діелектричних утрат у кристалі $CsBr^-Pb$ [16].

Спектральне положення смуги люмінесценції нанокристалів типу $CsPbBr_3$, як і будь-якого іншого нанокристала, є результатом конкурентної дії принаймні двох явищ: квантоворозмірного ефекту та гідростатичного тиску [17]. При реалізації квантоворозмірного ефекту смуга власної люмінесценції нанокристала зсувається в короткохвильовий бік щодо смуги випромінювання монокристала $CsPbBr_3$ на величину ΔE , що зв'язана з радіусом нанокристала R_{QD} співвідношенням [18]:

$$\Delta E = \frac{\hbar^2 \pi^2}{2\mu R_{QD}^2}, \quad (1)$$

де μ — зведені маси екситона. Для $CsPbBr_3$ $\mu = 0.52 m_0$ [7] (m_0 — маса вільного електрона).

Явище гідростатичного тиску виникає внаслідок того, що нанокристали $CsPbBr_3$ з постійною ґратки $a_{CsPbBr_3}=5.87$ Å утворюються в матриці $CsBr$ з меншою постійною ґратки $a_{CsBr}=4.29$ Å [19, 20]. У такому разі постійна елементарної ґратки нанокристалів зменшується, а екситонний пік відбивання і спектр власної люмінесценції нанокристалів $CsPbBr_3$ зсувається в довгохвильовий бік, що не є характерним для інших кристалів. Наявність такого аномального зсуву особливо добре проявляється при дослідженні температурної залежності спектрального положення екситонного піку відбивання й резонансної екситонної люмінесценції монокристала $CsPbBr_3$. Так, при пониженні температури, коли постійні ґратки зменшуються, екситонний пік відбивання і смуга екситон-

ної люмінесценції монокристала $CsPbBr_3$ зсуваються в бік менших енергій [7].

Таким чином, для нанокристалів $CsPbBr_3$, диспергованих у матриці $CsBr$, явище гідростатичного тиску деякою мірою нівелює прояв квантоворозмірного ефекту, тобто зменшує величину короткохвильового зсуву ΔE смуги люмінесценції вільного екситона нанокристалів типу $CsPbBr_3$ щодо смуги, характерної для монокристала $CsPbBr_3$. У праці [6] показано, що спектр випромінювання великих нанокристалів може бути навіть дещо зсунутий у довгохвильовий бік стосовно спектра власної люмінесценції монокристала $CsPbBr_3$.

У нашому випадку радіус нанокристалів $CsPbBr_3$, визначений за формулою (1), дає такі величини: $R_{QD} = 2.3$ нм (для кристалів $CsBr$ — 1 мол.% PbX_2 ($X = F, Cl$) та $R_{QD} = 3.2$ нм (для кристалів $CsBr$ — 1 мол.% PbX_2 ($X = Br, I$))).

На підставі різних значень R_{QD} можна припустити, що процес утворення нанокристалів типу $CsPbBr_3$ відбувається повільніше для кристалів $CsBr$ — 1 мол.% PbX_2 ($X = F, Cl$), ніж для $CsBr$ — 1 мол.% PbX_2 ($X = Br, I$). Це не узгоджується з висновками, зробленими в [10, 11], а саме: зменшення йонного радіуса галоїду домішки PbX_2 поліпшує агрегацію (йонний радіус у ряді I^- , Br^- , Cl^- , F^- зменшується: $r = 2.20$; 1.96; 1.81; 1.33 Å для йонів I^- , Br^- , Cl^- , F^- відповідно [20]). Тобто найсприятливіші умови мали б реалізуватися в кристалі $CsBr$ — 1 мол.% PbF_2 , однак спостерігається протилежне. Логічніше допустити, що для кристалів $CsBr$ — 1 мол.% PbX_2 ($X = F, Cl$) при наявності аніонів F^- або Cl^- меншого радіуса, ніж Br^- , утворюються пустоти в матриці $CsBr$, що зменшує вплив гідростатичного тиску матриці на нанокристали $CsPbBr_3$. Тобто пустоти, які утворюються при входженні аніонів F^- або Cl^- у матрицю $CsBr$, можуть відігравати роль своєрідних амортизаторів гідростатичного тиску матриці на нанокристали.

При імпульсному рентгенівському збудженні кристалів $CsBr:PbX_2$ ($X = F, Cl, Br, I$) люмінесценція нанокристалів $CsPbBr_3$ відсутня (рис. 2а–г). Це вказує на неефективність рекомбінації електрон-діркових пар з нанокристалами $CsPbBr_3$ та відсутність переносу енергії від синглетних і триплетних екситонів матриці $CsBr$ з $\lambda_{max} = 270$ і 348 нм до нанокристалів. Натомість наявна незначна за інтенсивністю широкосмугова люмінесценція у спектральній ділянці 500÷570 нм із часом загасання ≈ 10 мкс, яка може бути ідентифікована як люмінесценція локалізованих екситонів нанокристалів типу $CsPbBr_3$. На це вказують також результати спектрально-люмінесцентних і люмінесцентно-кінетичних досліджень кристалів $CsPb-Br$ різного походження [21].

Довгохвильове плече в ділянці 375 нм смуги випромінювання матриці $CsBr$ з $\lambda_{max} = 348$ нм (рис. 2а–е) із часом загасання 8.6 нс (швидка компонента рентгенолюмінесценції нанокристалів типу Cs_4PbBr_6 (у кристалах $CsBr$ — 1 мол.% $PbCl_2$ або $PbBr_2$)) може бути трактована як люмінесценція нанокристалів типу

Cs_4PbBr_6 . Причиною появи швидкої компоненти рентгенолюмінесценції нанокристалів типу Cs_4PbBr_6 є певне накладання смуги люмінесценції, синглетних екситонів з $\lambda_{\max} = 270$ нм матриці CsBr [22] на смугу спектра збудження нанокристала Cs_4PbBr_6 у спектральній ділянці 260 нм, що приводить до перепоглинання матричного свічення нанокристалами Cs_4PbBr_6 . Відсутність такого накладання в кристалах $\text{CsBr} - 1 \text{ мол.\% PbF}_2$ або PbI_2 , а відтак і вказаного перепоглинання випромінювання синглетних екситонів, може бути причиною відсутності швидкої компоненти рентгенолюмінесценції нанокристалів Cs_4PbBr_6 у цих кристалах.

У спектрі швидкої компоненти рентгенолюмінесценції кристала Cs_4PbBr_6 наявна також смуга люмінесценції вільного екситона кристала CsPbBr_3 , що є наслідком рекристалізації кристала Cs_4PbBr_6 із частковим розпадом на складові CsBr і CsPbBr_3 [4] (див. рис. 2e, e). Можливо, тому й повільна компонента рентгенолюмінесценції кристалів типу Cs_4PbBr_6 за спектральним положенням ідентична зі смugoю люмінесценції АЛЕ матриці CsBr (рис. 2e).

IV. ВИСНОВКИ

1. Активування матриці $\text{CsBr} - 1 \text{ мол.\% PbX}_2$ ($X = \text{F}, \text{Cl}, \text{Br}, \text{I}$) і високотемпературний ($T = 200^\circ\text{C}$) відпал протягом 100 год. свіжовирощених кристалів CsBr:PbX_2 ($X = \text{F}, \text{Cl}, \text{Br}, \text{I}$) приводить до агрегатизації Pb^{2+} -центрів з утворенням нанокристалів CsPbBr_3 та Cs_4PbBr_6 ; $\text{Cs}_4\text{PbBr}_{6-x}\text{F}_x$, $\text{Cs}_4\text{PbBr}_{6-x}\text{I}_x$ або Cs_4PbF_6 , Cs_4PbI_6 , і CsPbBr_3 , уведених у матрицю CsBr .

2. Зміна активатора PbX_2 ($X = \text{F}, \text{Cl}$) $\rightarrow \text{PbBr}_2$ або PbI_2 приводить до суттєвого зменшення короткохвильового зсуву ΔE смуг випромінювання нанокристалів CsPbBr_3 щодо смуги випромінювання монокристала CsPbBr_3 . Таке явище пояснюється збільшенням величини гідростатичного тиску, якого зазнають нанокристали CsPbBr_3 з боку матриці CsBr .

3. При імпульсному рентгеноівському збудженні випромінювальна релаксація високоенергетичних електрон-діркових пар кристала $\text{CsBr} - 1 \text{ мол.\% PbCl}_2$ або PbBr_2 відбувається шляхом випромінювального розпаду синглетних і триплетних автолокалізованих екситонів матриці CsBr та нанокристалів Cs_4PbBr_6 . Люмінесценція вільних екситонів нанокристалів CsPbBr_3 не збуджується електрон-

дірковимиарами, відсутній перенос енергії від аніонних екситонів матриці до нанокристалів цього типу.

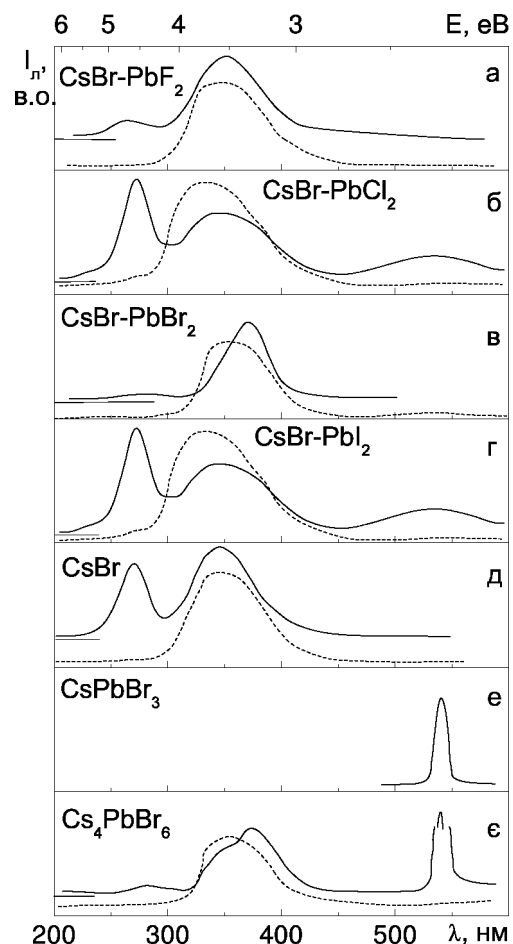


Рис. 2. Швидка (суцільна лінія) та повільна (штрихова лінія) компоненти в спектрах рентгенолюмінесценції кристалів $\text{CsBr} - 1 \text{ мол.\% PbX}_2$ ($X = \text{F}, \text{Cl}, \text{Br}, \text{I}$), CsBr , CsPbBr_3 , Cs_4PbBr_6 при $T = 77 \text{ K}$. Умови реєстрації вказано в методиці експерименту.

V. ПОДЯКИ

Автори висловлюють подяку проф. Волошоновському А. С. за сприяння в проведенні експериментів і плідну дискусію.

-
- [1] M. Nikl, K. Nitsch, K. Polak *et al.*, Phys. Rev. B **51**, 5192 (1995).
[2] R. Aceves, M. Barbosa Flores, P. Fabeni, *et al.*, Proc. Int. Conf. on Inorganic Scintillators and Their Applications, edited by P. Dorenbos and C. W. E. Van Eijk, (Delft University Press, Delft, The Netherlands, 1996), p. 445.
[3] A. Voloshinovskii, S. Myagkota, M. Mikhailik, International Conf. on Inorganic Scintillators and their Application, SCINT 97, (Shanghai Institute of Ceramics, China 1997), p. 40.
[4] C. Мягкота, Опт. спектроскоп. **87**, 311 (1999).
[5] M. Nikl, K. Nitsch, K. Polak *et al.*, J. Lumin. **72–74**, 377 (1997).

- [6] M. Nikl, K. Nitsch, E. Mihokova *et al.*, Physica E **4**, 323 (1999).
- [7] И. Пашук, М. Пидзырайло, М. Мацко, Физ. тверд. тела **23**, 2162 (1981).
- [8] M. Nikl, E. Mihokova, K. Nitsch *et al.*, Chem. Phys. Lett. **220**, 14 (1994).
- [9] K. Nitsch, V. Hamplova, M. Nikl *et. al.*, Chem. Phys. Lett. **268**, 518 (1996).
- [10] С. Мягкота, А. Глосковский, В. Габа *и др.*, Журн. прикл. спектроскоп. **6**, 480 (2000).
- [11] A. Voloshinovskii, S. Myagkota, A. Gloskovsky *et al.*, Functional materials **7**, 774 (2000).
- [12] A. Волошиновський, В. Михайлик, С. Мягкота *и др.*, Укр. физ. журн. **38**, 1012 (1993).
- [13] V. Babin, P. Fabeni, E. Mihokova *et al.*, Phys. Status Solidi B **219**, 205 (2000).
- [14] A. Волошиновський, С. Мягкота, А. Глосковський, Журн. фіз. досл. **4**, 335 (2000).
- [15] S. Radhakrishna, K. Pande, Phys. Rev. B **7**, 424 (1973).
- [16] H. Asada, J. Phys. Soc. Jpn. **59**, 2528 (1990).
- [17] Н. Кулиш, В. Кунец, М. Лисица. Физ тверд. тела **39**, 1865 (1997)
- [18] Ал. Эфрос, А. Эфрос, Физ. техн. полупр. **16**, 1209 (1982).
- [19] К. Александров, А. Анистратов, Б. Безносиков, Н. Федосеева, *Фазовые переходы в кристаллах галоидных соединений ABX₃* (Наука, Новосибирск, 1981).
- [20] И. Нараин-Сабо, *Неорганическая кристаллохимия* (Будапешт, 1969).
- [21] R. Aceves, V. Babin, M. Barbosa Flores *et al.*, Phys. Status Solidi B **233**, 745 (2001).
- [22] А. Волошиновский, Физ. тверд. тела **34**, 681 (1992).

SPECTRAL-LUMINESCENCE PROPERTIES OF Pb-BASED AGGREGATES DISPERSED IN THE CsBr MATRIX

S. V. Myagkota¹, A. V. Gloskovsky², I. V. Stefanskii², I. V. Garapyn², V. M. Gaba³

¹ Lviv S. Gzhyltskii Academy of Veterinary Medicine,

50 Pekarska Str., Lviv, UA-79010, Ukraine

² Ivan Franko National University of Lviv, Physics Faculty,

8 Kyrylo i Mefodii Str., Lviv, UA-79005, Ukraine

³National University "Lvivska Polytechnika",

12 Bandery Str., Lviv, UA-79012, Ukraine

Spectral-luminescence properties of Pb-based aggregates, created under high temperature annealing of CsBr:PbX₂ ($X = F, Cl, Br, I$) ($C_{PbX_2} = 1 \text{ mol.}\%$) crystals under photo- and X-ray excitation were studied. The formation of Cs₄PbBr₆ or Cs₄PbBr_{6-x}F_x, Cs₄PbBr_{6-x}I_x and CsPbBr₃ nanocrystals dispersed in the CsBr matrix was registered. Being pulse X-ray excited, radiative relaxation of high-energy electron-hole pairs of CsBr — 1 mol.% PbCl₂ or PbBr₂ crystal is realized through radiative decay of self-trapped excitons of the CsBr matrix, Cs₄PbBr₆ nanocrystals and localized excitons of CsPbBr₃ nanocrystals.